



## دانشگاه شهید چمران اهواز

دانشکده مهندسی

۹۲۴۱۳۰۱

### رساله دکترای مهندسی برق گرایش قدرت

#### عنوان:

ارائه الگوریتم جدید برای تشخیص جزیره الکتریکی در سیستم‌های توزیع دارای تولیدات پراکنده با استفاده از تحلیل سیگنال‌های حالت گذرا

#### استاد راهنما:

دکتر سید قدرت‌اله سیف‌السادات

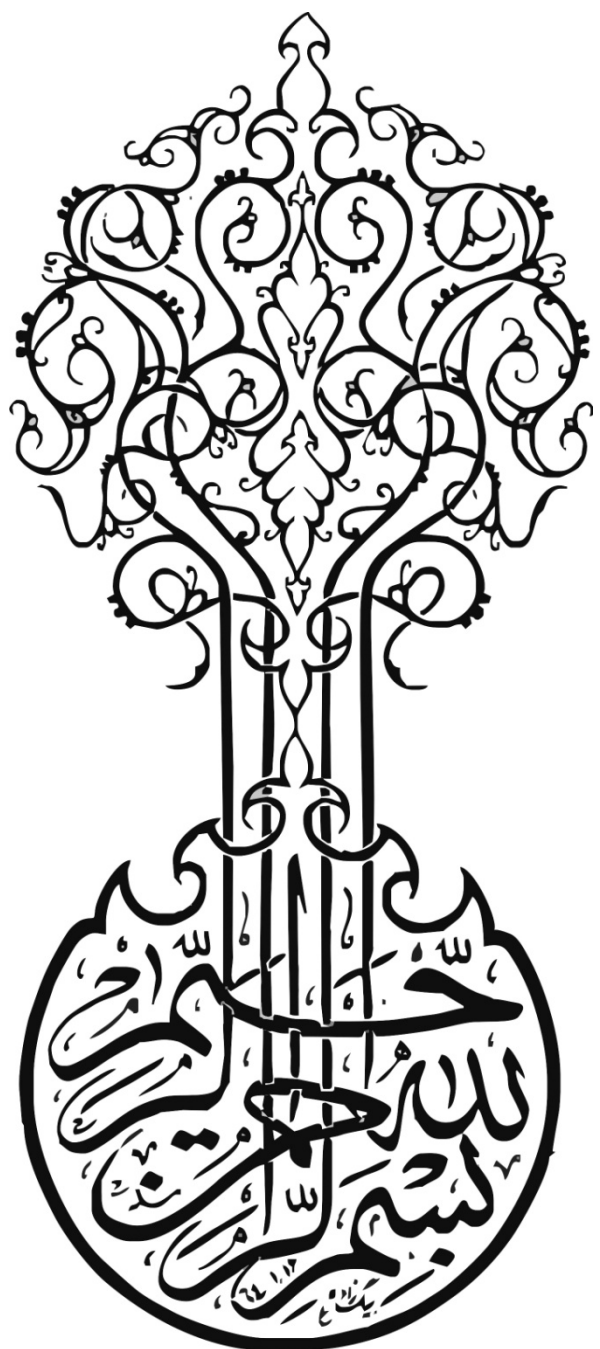
#### استاد مشاور:

دکتر مرتضی رزاز

#### نگارنده:

مهرداد حیدری ارجلو

دی ماه ۱۳۹۲





## دانشگاه شهید چمران اهواز

دانشکده مهندسی

دانشگاه شهید چمران اهواز

۹۲۴۱۳۰۱

رساله دکترای مهندسی برق

گرایش قدرت

### عنوان:

ارائه الگوریتم جدید برای تشخیص جزیره الکتریکی در سیستم‌های توزیع دارای تولیدات پراکنده با استفاده از تحلیل سیگنال‌های حالت گذرا

### استاد راهنما:

دکتر سید قدرت‌الله سیف‌السادات

### استاد مشاور:

دکتر مرتضی رزاز

### نگارنده:

مهرداد حیدری ارجلو

دی ماه ۱۳۹۲

به نام خدا

### نتیجه ارزشیابی رساله دکتری

بدینوسیله گواهی می‌گردد رساله‌ی دکترای آقای مهرداد حیدری ارجلو دانشجوی رشته  
مهندسی برق-قدرت به شماره دانشجوئی ۱۳۰۴۸۷۴ از دانشکده مهندسی تحت عنوان: ارائه  
الگوریتم جدید برای تشخیص جزیره الکتریکی در سیستم‌های توزیع دارای تولیدات  
پراکنده با استفاده از تحلیل سیگنال‌های حالت گذرا جهت اخذ درجه دکتری (Ph.D.)  
در تاریخ ۱۵/۱۰/۱۳۹۲ ساعت ۱۰:۰۰ توسط هیئت داوران مورد ارزشیابی قرار گرفت و با درجه  
عالی تصویب گردید.

امضاء	مرتبه علمی	۱- اعضاء هیئت داوران
	دانشیار	استاد راهنمای: دکتر سید قدرت‌الله سیف‌السادات
	دانشیار	استاد مشاور: دکتر مرتضی رزاز
	استاد	داور خارجی: پروفسور رحمت‌الله هوشمند
	استاد	داور داخلی (۱): پروفسور محمود جورابیان
	دانشیار	داور داخلی (۲): دکتر سید سعید‌الله مرتضوی
	استادیار	داور داخلی (۳): دکتر محسن صنیعی
	دانشیار	نماينده تحصيلات تكميلي: دکتر عليرضا عصاره
	استادیار	۲- مدیر گروه: دکتر محمد سروش
	استادیار	۳- معاون پژوهشی و تحصیلات تکمیلی دانشکده: دکتر علی حقیقی
	استاد	۴- مدیر تحصیلات تکمیلی دانشگاه: دکتر مسعود قربانپور نجف‌آبادی

تَعْدِيم بَهْ

پ درو مادر عزیزم

بهر سرفد اکارم

فرزندان همراهانم

## سپاسگزاری

الْحَمْدُ لِلّٰهِ الَّذِي لَهُ مَا فِي السَّمَاوَاتِ وَمَا فِي الْأَرْضِ وَلَهُ الْحَمْدُ فِي الْآخِرَةِ وَهُوَ الْحَكِيمُ الْخَبِيرُ

(ستایش و سپاس مخصوص خداست که هر آنچه در آسمانها و زمین است همه ملک اوست و در عالم آخرت نیز شکر و سپاس مخصوص خداست و او حکیم و آگاه است (سوره سباء آیه یکم).)

از بهمن ۱۳۸۷ که به عنوان یکی از دانشجویان دوره‌ی اول دکترای مهندسی برق-قدرت دانشگاه شهید چمران تحصیل خود را شروع کردم انسان‌های بزرگواری، بنده را یاری نمودند که بدون کمک آنها، هیچکدام از این نتایج تحقق نمی‌یافتد.

از استاد راهنمای گرامیم، آقای دکتر سید قدرت‌الله سيف‌السادات که در محضرشان علم، دین و اخلاق آموختم و در تهیه‌ی این رساله مرا راهنمایی فرمودند و بر کارم نظارت کردند، سپاسگزارم. از اساتید ارجمند آقایان: دکتر رزاز، استاد مشاور، دکتر جورابیان و دکتر مرتضوی، کمیته محترم هادی و داور، دکتر صنیعی، داور محترم، دکتر سروش، مدیر محترم کنونی گروه برق، دکتر کیانی نژاد و دکتر فرشیدی، مدیران محترم قبلی گروه برق و دکتر سعیدیان، استاد گرامی دوره‌ی دکتری، که همگی با راهنمایی‌ها و کمک‌های ارزنده و طرح ایده‌ها و سؤالات مختلف، سعی در بالا بردن کیفیت کار دوره‌ی دکترای بنده را داشته‌اند، صمیمانه تشکر می‌نمایم.

از آقای دکتر هوشمند، استاد محترم دانشگاه اصفهان که زحمت داوری رساله و از آقای دکتر نامداری، استادیار محترم دانشگاه لرستان که زحمت داوری پیشنهاد رساله را مقبول شدند و با طرح نظرات ارزشمند، کیفیت رساله را ارتقاء داده‌اند، صادقانه سپاسگزارم.

همچنین از پدر و مادر عزیزم که هر چه دارم بعد از لطف خدا، از نان حلال کارگری آنهاست، از همسر فدایکارم که در این چند سال، بار زندگی را به دوش کشیدند و از فرزندان نازنینم، که نبود من را فدایکارانه تحمل نمودند نیز نهایت تشکر و قدردانی را دارم.

از برادران عزیز و ارجمند آقای مهندس جعفری، معاونت محترم بهره‌برداری سد و نیروگاه و آقای مهندس پیشوای، مدیریت محترم مهندسی و نظارت فنی سازمان آب و برق خوزستان به خاطر تشویق و حمایت بی دریغ شان، قدردانی به عمل می‌آورم.

و از دانشجویان گرامی، آقایان: مهندس غریب رضا، مهندس قائدی، مهندس میرعباسی و برادر عزیزم مهندس پیمان حیدری و خانم مهندس طاهری‌فر، که از تجربه‌ی آنها در نرم افزارهای مختلف بهره‌بردم، سپاسگزارم.

امیدوارم اینجانب نیز در آینده، ضمن فراموش نکردن این زحمات و الطاف با خدمت صادقانه به صنعت و دانشگاه بتوانم جبران نمایم.

## فهرست مطالب

صفحه	موضوع
ک	فهرست شکل‌ها و نمودارها
س	فهرست جدول‌ها
ف	فهرست علامت‌ها و اختصارها
ق	چکیده‌ی فارسی
۱	<b>فصل اول: مقدمه</b>
۱	۱-۱ مقدمه
۲	۱-۲ تولید پراکنده به عنوان یک راه حل پایدار
۳	۱-۳ انواع تولید پراکنده
۴	۱-۴ چالش‌های فنی پیش‌روی تولید پراکنده
۴	۱-۵ مشکلات تولید پراکنده از دیدگاه حفاظت
۶	۱-۶ ضرورت تشخیص جزیره‌های الکتریکی
۸	۱-۷ دیدگاه شرکت برق از جزیره‌ای شدن DG
۹	۱-۸ انگیزه‌ی تحقیق
۹	۱-۹ هدف تحقیق
۱۰	۱-۱۰ ساختار رساله
۱۳	<b>فصل دوم: پیشینه‌ی تحقیق</b>
۱۳	۲-۱ مقدمه
۱۴	۲-۲ دسته‌بندی و تحلیل روش‌های متداول در تشخیص جزیره
۱۵	۲-۲-۱ روش‌های از راه دور (مخابراتی)
۱۶	۲-۲-۲ روش‌های محلی

۱۷.....	۱-۲-۲-۲ روش‌های فعال
۱۸.....	۱-۲-۲-۲ روش‌های غیرفعال
۲۰.....	۳-۲-۲-۲ روش‌های پیوندی
۲۲.....	۳-۲ پیشینه‌ی روش پیشنهادی (روش‌های مبتنی بر تبدیل موجک یا هوش مصنوعی)
۳۰.....	۴-۲ جمع بندی نقایص روش‌های قبلی (خلأهای تحقیقاتی)
۳۱.....	۵-۲ سوالات تحقیق

<b>۳۳.....</b>	<b>فصل سوم: الگوریتم پیشنهادی برای تشخیص جزیه (روش تحقیق)</b>
۳۳.....	۱-۳ مقدمه
۳۳.....	۲-۳ طرح کلی روش پیشنهادی بر اساس روش‌های تشخیص الگو
۳۶.....	۳-۳ تجزیه و تحلیل سیگنال‌ها با استفاده از تبدیل موجک
۳۷.....	۳-۳-۱ محاسبه ضرائب تبدیل موجک
۳۸.....	۳-۳-۲ تبدیل موجک گستته و بانک‌های فیلتر
۳۹.....	۳-۳-۳ تجزیه چند سطحی سیگنال
۴۱.....	۴-۳ محاسبه‌ی ویژگی‌های مورد نیاز دسته بندی کننده (انرژی ضرایب موجک)
۴۳.....	۴-۳ دسته بندی کننده‌ی مبتنی بر شبکه‌ی عصبی مصنوعی
۴۶.....	۶-۳ دسته بندی کننده‌ی مبتنی بر درخت تصمیم‌گیری
۴۷.....	۶-۳-۱ درخت تصمیم CART
۴۹.....	۶-۳-۲ درخت تصمیم C4.5
۵۱.....	۷-۳ دسته بندی کننده‌ی مبتنی بر نزدیک‌ترین $k$ -همسايگي
۵۳.....	۸-۳ ابزار مورد نیاز روش تحقیق (نرم افزارها)
۵۴.....	۹-۳ نحوه انتخاب مناسب‌ترین موجک مادر
۵۵.....	۱۰-۳ تعداد سطوح تجزیه DWT

۱۱-۳ نحوه‌ی محاسبه‌ی دقّت (اعتبارسنجی متقابل)	۵۶
۱۲-۳ معیارهای ارزیابی	۵۷

## **فصل چهارم: نتایج شبیه‌سازی**

۴-۱ معرفی سیستم قدرت تحت مطالعه	۵۹
۴-۲ طرح‌های تحت مطالعه	۶۴
۴-۳ شبیه‌سازی سیستم CIGRE و محاسبه‌ی ویژگی‌های حوادث	۶۵
۴-۴ نتایج شبیه‌سازی رله‌ی مبتنی بر شبکه عصبی مصنوعی (ANN)	۷۷
۴-۴-۱ تعیین مناسب‌ترین سیگنال ورودی به رله‌ی ANN	۷۹
۴-۴-۲ تعیین مناسب‌ترین موجک مادر برای رله‌ی ANN	۸۰
۴-۴-۳ تعیین بهترین رله از بین رله‌های مبتنی بر ANN	۸۲
۴-۴-۴ جمع‌بندی نتایج ANN	۸۴
۴-۵ نتایج شبیه‌سازی رله‌ی مبتنی بر تصمیم درختی (DT)	۸۴
۴-۵-۱ تعیین مناسب‌ترین سیگنال ورودی به رله‌ی DT	۸۶
۴-۵-۲ تعیین مناسب‌ترین موجک مادر برای رله‌ی DT	۸۸
۴-۵-۳ تعیین بهترین رله از بین رله‌های مبتنی بر DT	۸۸
۴-۵-۴ جمع‌بندی نتایج DT	۹۰
۴-۶ نتایج شبیه‌سازی رله‌ی مبتنی بر نزدیک‌ترین $K$ -همسايگي (KNN)	۹۱
۴-۶-۱ تعیین مناسب‌ترین سیگنال ورودی به رله‌ی KNN	۹۲
۴-۶-۲ تعیین مناسب‌ترین موجک مادر برای رله‌ی KNN	۹۴
۴-۶-۳ تعیینبهترین رله از بین رله‌های مبتنی بر KNN	۹۴
۴-۶-۴ جمع‌بندی نتایج KNN	۹۶

<b>فصل پنجم: تحلیل و ارزیابی</b>	<b>۹۷</b>
۱-۵ تعیین بهترین رله از بین رله‌های مبتنی بر KNN و DT	۹۷
۲-۵ ارائه روندnamی الگوریتم پیشنهادی جهت تهیه نرمافزار رله‌ی بهینه	۹۹
۳-۵ ارزیابی و مقایسه‌ی دقّت و بار محاسباتی رله در الگوریتم پیشنهادی	۱۰۰
۴-۵ بررسی زمان عملکرد رله‌ی پیشنهادی	۱۰۲
۵-۵ تحلیل گرافیکی داده‌ها (داده‌کاوی)	۱۰۳
۶-۵ دستیابی به دقّت قابل قبول در سطح اوّل یا دوم تبدیل موجک	۱۰۵
۷-۵ ارزیابی موجک مادر db4 نسبت به موجک مادر haar	۱۰۷
۸-۵ صرفه‌جویی حاصل در برابر حذف جریان از ورودی رله	۱۱۰
۹-۵ بحث بر روی روش پیشنهادی مبتنی بر KNN	۱۱۳
<b>فصل ششم: نتیجه‌گیری و پیشنهاد</b>	<b>۱۱۷</b>
۱-۶ نتیجه‌گیری	۱۱۷
۲-۶ نوآوری‌ها	۱۱۸
۳-۶ پیشنهادها برای ادامه‌ی تحقیق	۱۲۲
<b>پیوست الف: معرفی روش‌های متداول تشخیص جزیره</b>	<b>۱۲۵</b>
الف-۱ روش‌های مخابراتی تشخیص جزیره	۱۲۷
الف-۱-۱ روش PLC	۱۲۷
الف-۱-۲ ارسال سیگنال قطع	۱۳۰
الف-۲ روش‌های غیرفعال تشخیص جزیره	۱۳۲
الف-۲-۱ افزایش و کاهش فرکانس، تغییر فرکانس، نوسان فرکانس	۱۳۳
الف-۲-۲ اضافه و کاهش ولتاژ	۱۳۵
الف-۲-۳ سرعت تغییر ولتاژ	۱۳۶

الف-۲-۴ تشخیص هارمونیک‌های ولتاژ و (یا) جریان .....	۱۳۶
الف-۲-۵ روش اندازه‌گیری امپدانس .....	۱۳۷
الف-۳ روش‌های فعال تشخیص جزیره .....	۱۳۸
الف-۳-۱ انتقال فرکانس مذلغش .....	۱۳۹
الف-۳-۲ بایاس فرکانسی (انحراف فرکانس اکتیو) .....	۱۴۰
الف-۳-۳ انتقال فرکانس سندیا (SFS) .....	۱۴۲
الف-۳-۴ انتقال ولتاژ سندیا (SVS) .....	۱۴۳
الف-۳-۵ پرش فرکانسی .....	۱۴۴
الف-۳-۶ روش‌های تغییر دادن ولتاژ پایانه و پالس ولتاژ .....	۱۴۴
الف-۳-۷ روش نامتعادلی ولتاژ .....	۱۴۶
الف-۳-۸ روش نامتعادلی جریان .....	۱۴۷
الف-۳-۹ روش کنترل توان اکتیو و راکتیو .....	۱۴۸
الف-۴ روش‌های پیوندی .....	۱۴۸
<b>پیوست ب: برخی از شکل موج‌های شبیه‌سازی شده DG2</b>	۱۴۹
<b>فهرست مقاله‌های مستخرج از پایان‌نامه</b>	۱۶۱
<b>فهرست منابع</b>	۱۶۳
چکیده‌ی لاتین .....	۱۷۱
عنوان لاتین .....	۱۷۲

# فهرست شکل‌ها و نمودارها

۱-۱: DG و اتصال آن به یک سیستم شعاعی.....	۵
۱-۲: روند نمای گام‌های تحقیقاتی رساله.....	۱۲
۱-۳: تقسیم‌بندی روش‌های تشخیص جزیره.....	۱۵
۱-۴: تقسیم‌بندی روش‌های فعال تشخیص جزیره.....	۱۷
۱-۵: تقسیم‌بندی روش‌های غیرفعال تشخیص جزیره.....	۱۹
۱-۶: نمودار روش پیشنهادی مبتنی بر تحلیل سیگنال‌های حالت گذرا.....	۳۵
۱-۷: شکل موج سیگنال اصلی، جزئیات و تخمین سیگنال در سطح اول.....	۳۹
۱-۸: تجزیه یک سیگنال به سه سطح.....	۴۰
۱-۹: تجزیه یک موج سینوسی در سه سطح تبدیل موجک.....	۴۰
۱-۱۰: روند استخراج ویژگی‌ها.....	۴۲
۱-۱۱: روش استخراج ویژگی‌های مورد نیاز دسته‌بندی حوادث.....	۴۳
۱-۱۲: نمای مدل اصلی نرون (پرسپترون).....	۴۴
۱-۱۳: تشکیل نواحی توسط لایه‌های مختلف پرسپترون.....	۴۴
۱-۱۴: (الف) فضای ویژگی‌ها (ب) درخت تصمیم.....	۴۸
۱-۱۵: تغییرات بی‌نظمی براساس مقدار p.....	۵۰
۱-۱۶: تعیین دسته نمونه‌ی ناشناخته دایره به روش KNN.....	۵۳
۱-۱۷: سیستم توزیع ولتاژ متوسط CIGRE.....	۶۰
۱-۱۸: حادثه‌ی مربوط به اتصال کوتاه سه فاز در باس شماره‌ی ۱۱، (الف) شکل موج ولتاژ و جریان DG1، (ب تا د) ضرایب تبدیل موجک سطوح اول تا نهم.....	۶۷
۱-۱۹: حادثه‌ی مربوط به اتصال کوتاه دو فاز در باس شماره‌ی ۲، (الف) شکل موج ولتاژ و جریان DG1، (ب تا د) ضرایب تبدیل موجک سطوح اول تا نهم.....	۶۸
۱-۲۰: حادثه‌ی مربوط به اتصال کوتاه دو فاز به زمین در باس شماره‌ی ۱، (الف) شکل موج ولتاژ و جریان DG1، (ب تا د) ضرایب تبدیل موجک سطوح اول تا نهم.....	۶۹

٤-٥: حادثه‌ی مربوط به اتصال کوتاه تک فاز به زمین در بس شماره‌ی ٤، (الف) شکل موج ولتاژ و جریان DG1، (ب تا د) ضرایب تبدیل موجک سطوح اوّل تا نهم	٧٠
٤-٦: حادثه‌ی مربوط به قطع خازن شین شماره‌ی ٧، (الف) شکل موج ولتاژ و جریان DG1 (ب تا د) ضرایب تبدیل موجک سطوح اوّل تا نهم	٧١
٤-٧: حادثه‌ی مربوط به قطع بار شین شماره‌ی ٥، (الف) شکل موج ولتاژ و جریان DG1 (ب تا د) ضرایب تبدیل موجک سطوح اوّل تا نهم	٧٢
٤-٨: عملکرد عادی سیستم، (الف) شکل موج ولتاژ و جریان DG1 (ب تا د) ضرایب تبدیل موجک سطوح اوّل تا نهم	٧٣
٤-٩: حادثه‌ی مربوط به قطع DG2، (الف) شکل موج ولتاژ و جریان DG1 (ب تا د) ضرایب تبدیل موجک سطوح اوّل تا نهم	٧٤
٤-١٠: حادثه‌ی مربوط به باز شدن کلید B1، (الف) شکل موج ولتاژ و جریان DG1 (ب تا د) ضرایب تبدیل موجک سطوح اوّل تا نهم	٧٥
٤-١١: حادثه‌ی مربوط به عملکرد حفاظت باسیار BB2، (الف) شکل موج ولتاژ و جریان DG1 (ب تا د) ضرایب تبدیل موجک سطوح اوّل تا نهم	٧٦
٤-١٢: متوسط دقّت رله‌ها بر اساس سیگنال ورودی، (الف) DG1، (ب) DG2	٨٠
٤-١٣: متوسط دقّت رله‌ها بر اساس نوع موجک مادر، (الف) DG1، (ب) DG2	٨٢
٤-١٤: متوسط دقّت رله‌ها بر اساس سیگنال ورودی، (الف) DG1، (ب) DG2	٨٧
٤-١٥: متوسط دقّت رله‌ها بر اساس نوع موجک مادر، (الف) DG1، (ب) DG2	٨٩
٤-١٦: متوسط دقّت رله‌ها بر اساس سیگنال ورودی، (الف) DG1، (ب) DG2	٩٣
٤-١٧: متوسط دقّت رله‌ها بر اساس نوع موجک مادر، (الف) DG1، (ب) DG2	٩٥
٤-١: درخت تصمیم‌گیری مربوط به رله‌ی بهینه (DT-V-db4-DWT3)	٩٩
٤-٢: روندnamای الگوریتم پیشنهادی	١٠١
٤-٣: پراکندگی داده‌ها با قرار دادن شروع پنجره نمونه‌برداری در لحظه صفر	١٠٥
٤-٤: پراکندگی داده‌ها با قرار دادن شروع پنجره نمونه‌برداری در لحظه ٠/٠٦ ثانیه	١٠٦

۵-۱: پراکندگی داده‌ها با موجک مادر haar	DG1 و ب) DG2	۱۰۹
۵-۲: نمای سخت‌افزاری یک رله‌ی عددی [۸۲]		۱۱۱
۵-۳: تغییرات دقّت الگوریتم مبتنی بر KNN	بر حسب K	۱۱۴
۵-۴: متوسط دقّت الگوریتم مبتنی بر KNN	به ازای سه معیار مختلف اندازه‌گیری فاصله	۱۱۶
الف-۱: تشخیص جزیره‌ای شدن DG	با سیگنال خط انتقال توان (PLS)	۱۲۸
الف-۲: تشخیص جزیره‌ای شدن DG	با چندین سیگنال خط انتقال توان (PLS)	۱۲۸
الف-۳: روش ارسال سیگنال قطع در تشخیص جزیره		۱۳۱
الف-۴: اصل اساسی استفاده از اندازه‌گیری امپدانس برای تشخیص جزیره		۱۳۸
الف-۵: روش بایاس فرکانس برای تشخیص جزیره		۱۴۱
الف-۶: تشخیص جزیره از نوع تغییر ولتاژ		۱۴۵
ب-۱: حادثه‌ی مربوط به اتصال کوتاه سه فاز در باس شماره‌ی ۱۱، (الف) شکل موج ولتاژ و جریان DG2، (ب تا د) ضرایب تبدیل موجک سطوح اوّل تا نهم		۱۵۰
ب-۲: حادثه‌ی مربوط به اتصال کوتاه دو فاز در باس شماره‌ی ۲، (الف) شکل موج ولتاژ و جریان DG2، (ب تا د) ضرایب تبدیل موجک سطوح اوّل تا نهم		۱۵۱
ب-۳: حادثه‌ی مربوط به اتصال کوتاه دو فاز به زمین در باس شماره‌ی ۱، (الف) شکل موج ولتاژ و جریان DG2، (ب تا د) ضرایب تبدیل موجک سطوح اوّل تا نهم		۱۵۲
ب-۴: حادثه‌ی مربوط به اتصال کوتاه تک فاز به زمین در باس شماره‌ی ۴، (الف) شکل موج ولتاژ و جریان DG2، (ب تا د) ضرایب تبدیل موجک سطوح اوّل تا نهم		۱۵۳
ب-۵: حادثه‌ی مربوط به قطع خازن شین شماره‌ی ۷، (الف) شکل موج ولتاژ و جریان DG2 (ب تا د) ضرایب تبدیل موجک سطوح اوّل تا نهم		۱۵۴
ب-۶: حادثه‌ی مربوط به قطع بار شین شماره‌ی ۵، (الف) شکل موج ولتاژ و جریان DG2 (ب تا د) ضرایب تبدیل موجک سطوح اوّل تا نهم		۱۵۵
ب-۷: عملکرد عادی سیستم، (الف) شکل موج ولتاژ و جریان DG2 (ب تا د) ضرایب تبدیل موجک سطوح اوّل تا نهم		۱۵۶

- ب-۸: حادثه‌ی مربوط به قطع DG1، (الف) شکل موج ولتاژ و جریان DG2 (ب تا د) ضرایب تبدیل موجک سطوح اوّل تا نهم ..... ۱۵۷
- ب-۹: حادثه‌ی مربوط به باز شدن کلید B1، (الف) شکل موج ولتاژ و جریان DG2 (ب تا د) ضرایب تبدیل موجک سطوح اوّل تا نهم ..... ۱۵۸
- ب-۱۰: حادثه‌ی مربوط به عملکرد حفاظت باسیار BB2، (الف) شکل موج ولتاژ و جریان DG2 (ب تا د) ضرایب تبدیل موجک سطوح اوّل تا نهم ..... ۱۵۹
- ب-۱۱: شکل ب-۱۱: حادثه‌ی مربوط به عملکرد حفاظت باسیار BB3، (الف) شکل موج ولتاژ و جریان DG2 (ب تا د) ضرایب تبدیل موجک سطوح اوّل تا نهم ..... ۱۶۰

## فهرست جدول‌ها

۱-۱: خلاصه وضعیت نیروگاه‌های کشور- منتهی به آذر ماه سال ۹۱	۳
۲-۱: مشکلات فنی مربوط به جزیره‌ای شدن DG	۷
۲-۱-۱: ارزیابی کلی روش‌های تشخیص جزیره	۲۱
۲-۱-۲: خصوصیات مهم روش‌های مخابراتی تشخیص جزیره	۲۱
۲-۱-۳: خصوصیات مهم روش‌های فعال تشخیص جزیره	۲۱
۲-۱-۴: خصوصیات مهم روش‌های غیرفعال تشخیص جزیره	۲۲
۳-۱: باندهای فرکانسی سطوح مختلف تبدیل موجک	۵۶
۴-۱: مشخصات فنی خطوط سیستم ولتاژ متوسط CIGRE	۶۲
۴-۲: برخی از کمیت‌های مهم ژنراتور آسنکرون	۶۲
۴-۳: برخی از کمیت‌های مهم ژنراتور سنکرون	۶۳
۴-۴: تنظیم‌های اصلی شبکه‌ی عصبی مورد استفاده	۷۷
۴-۵: دقت رله‌های تحت مطالعه با ANN (درصد)	۷۸
۴-۶: خلاصه نتایج الگوریتم پیشنهادی با ANN	۸۳
۴-۷: برخی از تنظیم‌های اصلی درخت تصمیم روشن پیشنهادی	۸۵
۴-۸: دقت رله‌های تحت مطالعه با DT (درصد)	۸۶
۴-۹: جزئیات نتایج روشن پیشنهادی بر اساس درخت تصمیم	۹۰
۴-۱۰: دقت رله‌های تحت مطالعه با KNN (درصد)	۹۲
۵-۱: نتایج طرح بهینه انتخاب شده (DT-V-db4-DWT3)	۹۸
۵-۲: مقایسه دقت رله‌های پیشنهادی با کارهای پیشین	۱۰۲
۵-۳: دقت رله‌ها با تأخیر زمان شروع پنجره نمونه برداری به ۰/۰۶ ثانیه با db4 (%)	۱۰۷
۵-۴: دقت رله‌ها با تأخیر زمان شروع پنجره نمونه برداری به ۰/۰۶ ثانیه با haar (%)	۱۱۰
۵-۵: دقت (%) الگوریتم مبتنی بر KNN به ازای سه معیار مختلف اندازه‌گیری فاصله	۱۱۵
الف-۱: روش‌های مخابراتی تشخیص جزیره	۱۲۵

الف-۲: روش‌های پسیو تشخیص جزیره.....	۱۲۶
الف-۳: روش‌های اکتیو تشخیص جزیره.....	۱۲۶
الف-۴: اطلاعات آزمایش وانگ.....	۱۳۰

## فهرست علامت‌ها و اختصارها

علامت	مفهوم
<b>ANN</b> Artificial Neural Network	شبکه‌ی عصبی مصنوعی
<b>AFD</b> Active Frequency Drift	انحراف فرکانس فعال
<b>APS</b> Automatic Phase Shift	انتقال خودکار فاز
<b>CART</b> Classification And Regression Tree	درخت رگرسیون و تصمیم
<b>CVT, VT</b> Capacitor Voltage Transformers	ترانسفورماتور ولتاژ خازنی
<b>COROCOF</b> Comparison of Rate of Change of Frequency	مقایسه‌ی سرعت تغییر فرکانس
<b>CT</b> Current Transformer	ترانسفورماتور جریان
<b>DG</b> Distributed Generation (Generation in the distribution layer)	تولید پراکنده (تولید در سطح توزیع)
<b>DWT</b> Discrete Wavelet Transform	تبديل موجک گسسته
<b>DT</b> Decision Tree	درخت تصمیم
<b>FJ</b> Frequency Jump	پرش فرکانس
<b>IEEE</b> Institute of Electrical and Electronics Engineers	انجمن مهندسین برق و الکترونیک
<b>IPP</b> Independent Power Producer	تولیدکننده‌ی مستقل توان
<b>KNN</b> K- Nearest Neighbors	نزدیک‌ترین <b>k</b> -همسایگی
<b>LL</b> Line to Line	خط به خط (فاز به فاز)
<b>LN</b> Line to Neutral	خط (فاز) به نول (خنثی)
<b>MLP</b> Multi Layer Perceptron	پرسپترون چند لایه
<b>MSE</b> Mean of Squared Errors	میانگین مربع خطاهای
<b>MVA</b> Mega Apparent Power	مگا ولت آمپر
<b>NDZ</b> Non Detection Zone	ناحیه‌ی غیر قابل تشخیص
<b>OF</b> Over Frequency	افزایش فرکانس
<b>OV</b> Over Voltage	افزایش ولتاژ
<b>PCC</b> Point of Common Coupling	نقطه‌ی اتصال مشترک
<b>PLC</b> Power Line Carrier	مخابرات از طریق خط انتقال قدرت

مفهوم	علامت
حلقه‌ی قفل فاز	<b>PLL</b> Phase Locked Loop
ترانسفورماتور ولتاژ	<b>PT</b> Potential Transformer
پریونیت	<b>pu</b> Per Unit
پیل نوری (پیل خورشیدی)	<b>PV</b> Photo Voltaic Cell (Solar Cell)
سرعت تغییر فرکانس	<b>ROCOF</b> Rate of Change of Frequency
حافظه فقط خواندنی	<b>ROM</b> Read Only Memory
حافظه با دسترسی اتفاقی	<b>RAM</b> Random Access Memory
جمع‌آوری داده و کنترل نظارتی	<b>SCADA</b> Supervisory Control and Data Acquisition
انتقال فرکانس سندیا	<b>SFS</b> Sandia Frequency Shift
انتقال فرکانس مد لغزش	<b>SMFS</b> Slip Mode Frequency Shift
انتقال فرکانس سندیا	<b>SFS</b> Sandia Frequency Shift
انتقال ولتاژ سندیا	<b>SVS</b> Sandia Voltage Shift
ارسال فرمان قطع	<b>TT</b> Transfer Trip
اغتشاش هارمونیکی کل	<b>THD</b> Total Harmonic Distortion
کاهش فرکانس	<b>UF</b> Under Frequency
کاهش ولتاژ	<b>UV</b> Under Voltage
توان ظاهری	<b>VA</b> Apparent Power
توان راکتیو	<b>VAR</b> Reactive Power
نامتعادلی ولتاژ	<b>VU</b> Voltage Unbalance
وات	<b>W</b> Watt
تبديل بسته‌ی موجک	<b>WPT</b> Wavelet Packet Transform
بی‌نظمی انفرادی موجک	<b>WSE</b> Wavelet Singular Entropy
شاخص بی‌نظمی انفرادی موجک	<b>WSEI</b> Wavelet Singular Entropy Index
شبکه‌ی عصبی فازی موجک	<b>WFNN</b> Wavelet Fuzzy Neural Network

## چکیده

نام خانوادگی: حیدری ارجلو	نام: مهرداد	شماره دانشجویی: ۸۷۴۱۳۰۴
عنوان پایان نامه: ارائه الگوریتم جدید برای تشخیص جزیره الکتریکی در سیستم‌های توزیع دارای تولیدات پراکنده با استفاده از تحلیل سیگنال‌های حالت گذرا		
استاد راهنمای: دکتر سید قدرت‌الله سیف‌السادات		
استاد مشاور: دکتر مرتضی رزاز		
درجه تحصیلی: دکتری	رشته: مهندسی برق	گرایش: قدرت
دانشگاه: شهید چمران اهواز	دانشکده: مهندسی برق	گروه: مهندسی برق
تاریخ فارغ التحصیلی: ۱۳۹۲/۱۰/۱۵	تعداد صفحه: ۱۷۰	تاریخ فارغ التحصیلی: ۱۳۹۲/۱۰/۱۵
کلید واژه‌ها: جزیره‌ی الکتریکی، سیستم توزیع، دسته بندی کننده‌ی هوشمند، تبدیل موجک گسسته، حالت گذرا		
<p>هدف این تحقیق، ارائه‌ی روشی جدید برای تشخیص جزیره‌ی الکتریکی در سیستم توزیع دارای DG، بر اساس تحلیل سیگنال‌های حالت گذراست. در روش پیشنهادی، ویژگی‌های مورد نیاز دسته‌بندی کننده‌ی هوشمند، از تبدیل موجک گسسته‌ی (DWT) سیگنال‌های حالت گذرای تولید شده در حین وقوع یک حادثه، جهت تشخیص حوادث جزیره‌ای استخراج می‌شود. سپس دسته‌بندی کننده‌های هوشمند برای تقسیم‌بندی حوادث به جزیره‌ای و غیرجزیره‌ای استفاده می‌شود. روش پیشنهادی روی سیستم توزیع ولتاژ متوسط CIGRE با دو نوع DG مختلف و با در نظر گرفتن شرایط ساختاری مختلف با باز و بسته نگهداشتن کلیدها و شرایط بارگذاری گوناگون با نرم‌افزارهای DIGSILENT و MATLAB و WEKA آزمایش می‌شود.</p> <p>مطالعات دقیق و وسیع از طریق ۴۸۶ طرح انجام می‌شود. در این طرح‌ها، حداقل تعداد سیگنال ورودی مورد نیاز از بین سیگنال‌های ولتاژ و جریان، کمترین سطح موردنیاز از بین سطوح اویل تا نهم DWT مورد بررسی قرار می‌گیرد. همچنین مناسب‌ترین موجک مادر از بین چهار نوع مختلف db1، db4، db7 و haar، بهترین دسته‌بندی کننده از بین سه نوع شبکه‌ی عصبی مصنوعی (ANN)، نزدیک‌ترین k-همسایگی (KNN) و تصمیم درختی (DT) انجام می‌شود. سرانجام ثابت می‌شود که این روش می‌تواند پیشامدهای جزیره‌ای را تنها با استفاده از سیگنال ولتاژ و با دسته‌بندی کننده‌ی ANN در سطح هفتم DWT و با استفاده از دسته‌بندی کننده‌های KNN و DT در سطح سوم DWT تشخیص دهد. البته در سطح سوم DWT، دسته‌بندی کننده‌ی DT دارای بالاترین دقّت است. موجک مادر db4 نیز مناسب‌ترین موجک مادر، تشخیص داده شده است. پنجره‌ی نمونه‌برداری با طول ۰/۰۱ ثانیه با شروع آن در لحظه‌ی وقوع حادثه (صفر)، است. سرانجام با داده کاوی و تحلیل داده‌ها، با تأخیر زمان شروع پنجره‌ی نمونه‌برداری از لحظه‌ی صفر به ۰/۰۶ ثانیه، روش ذکر شده می‌تواند حوادث را فقط با استفاده از سطح اویل DWT تشخیص دهد. این تأخیر با توجه به کنندی رله‌ها در سیستم توزیع و زمان مجاز استاندارد IEEE1547 برای تشخیص جزیره (۲ ثانیه) قابل قبول است.</p>		